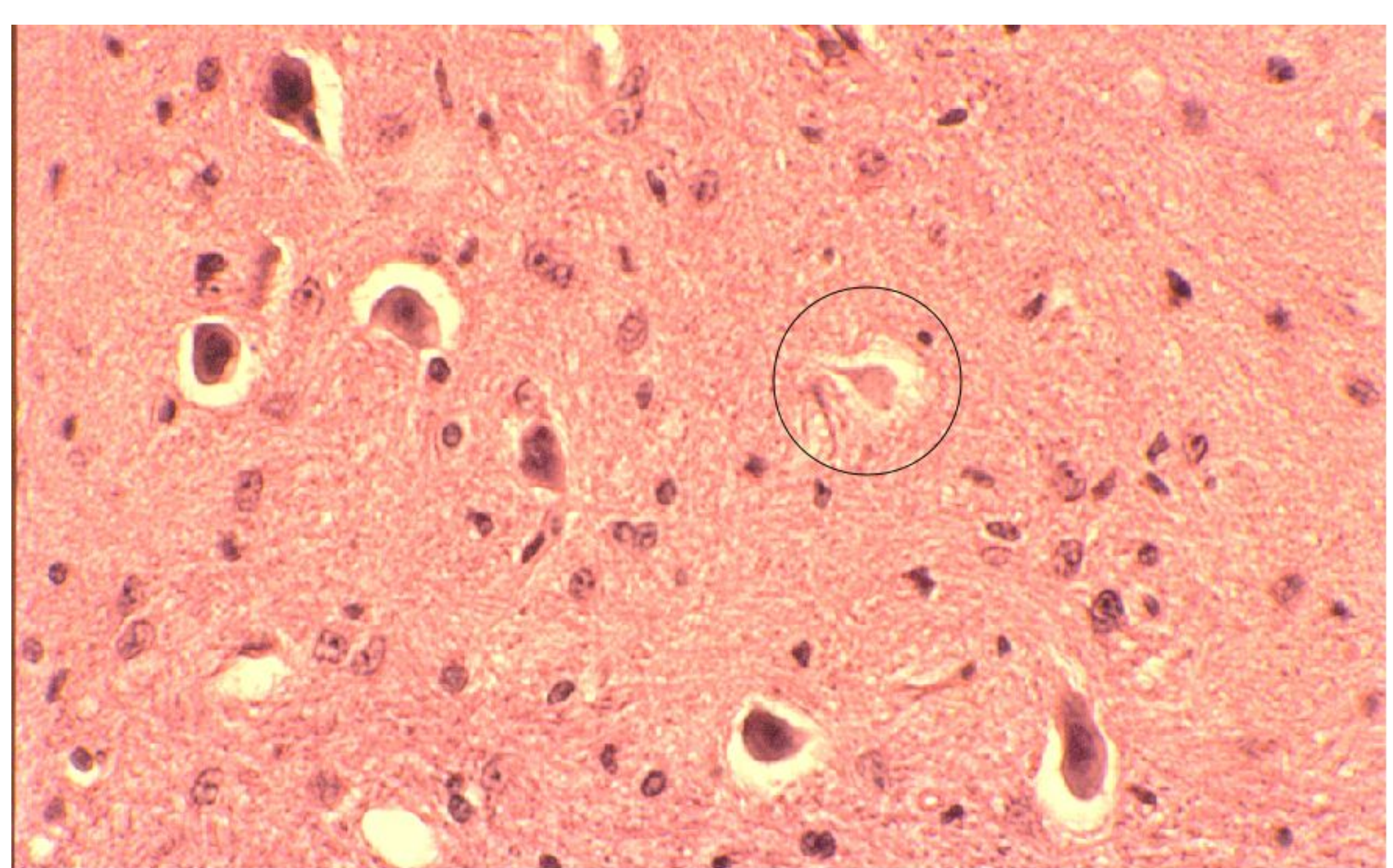


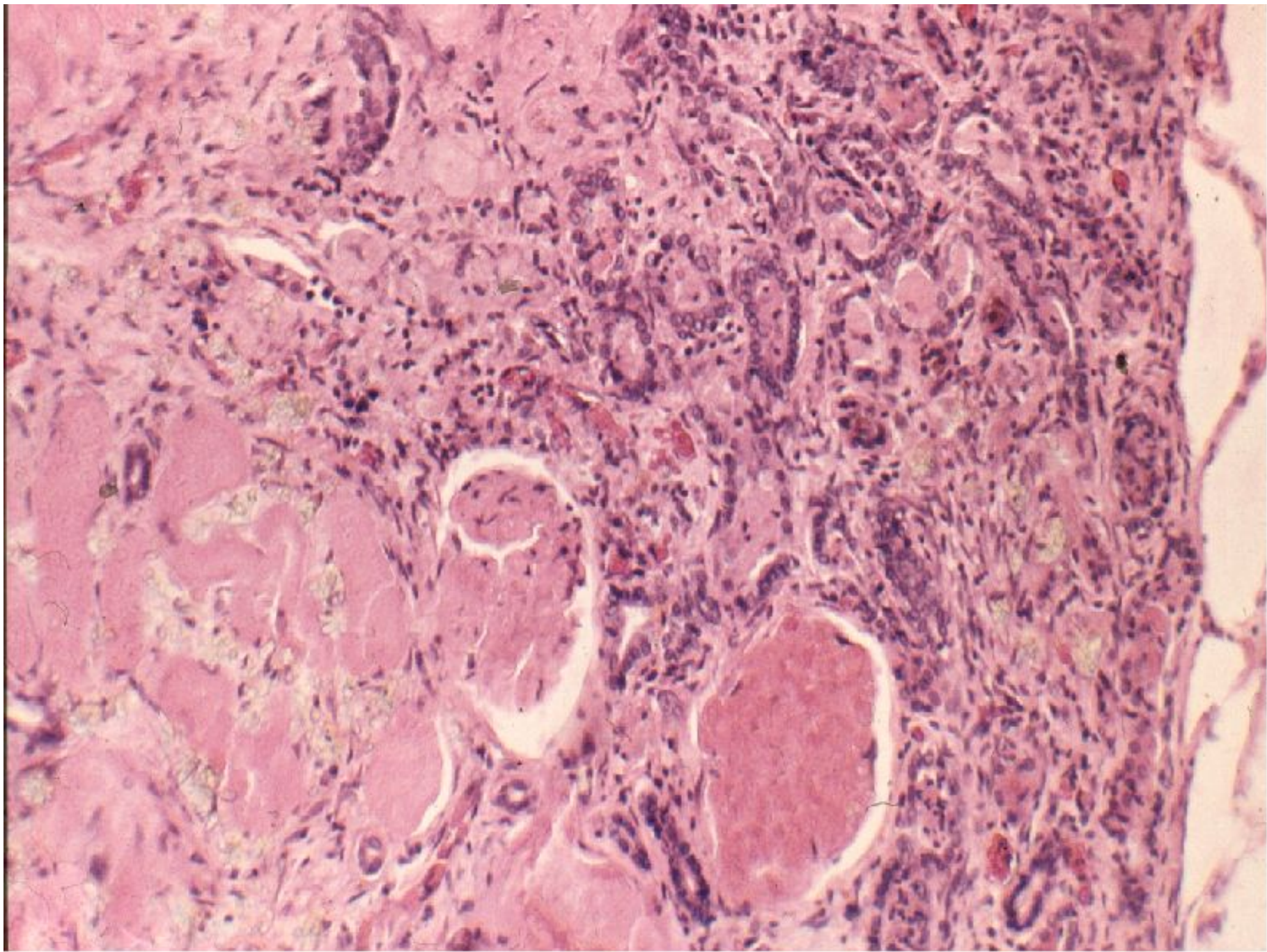
Obr.1

**ultrastruktura bioptického vzorku jaterní tkáně
odebrané pro podezření z mitochondriální poruchy**
minimální patologické změny; „nekrosa“ byla indukovaná
fixačním roztokem

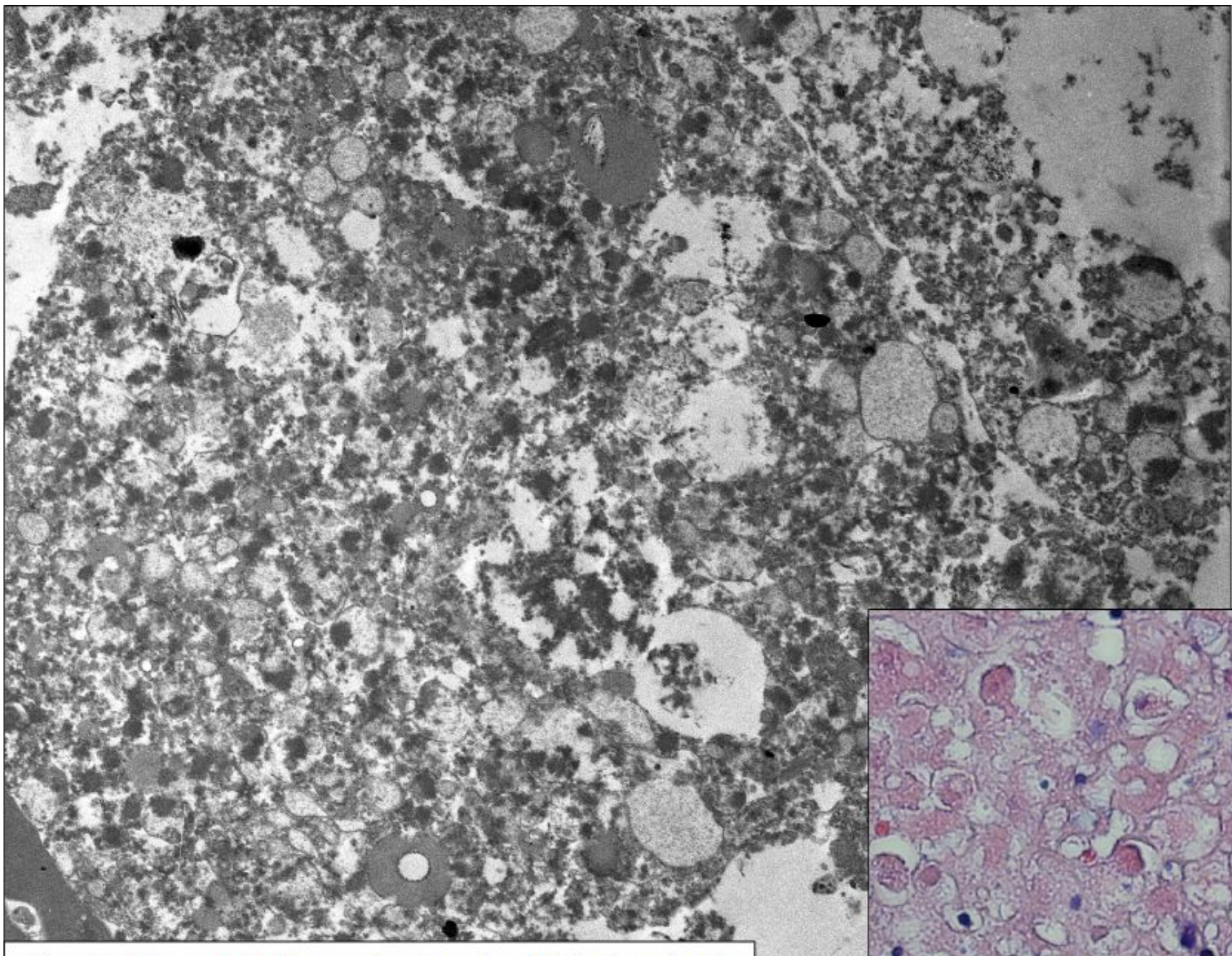
nekrotický hepatocyt ve stadiu autodegradace



**Obr. 2. Regresivní změny neuronů v nc. olivarius;
plně vyvinutá nekrosa označena kroužkem. Barvení HE**

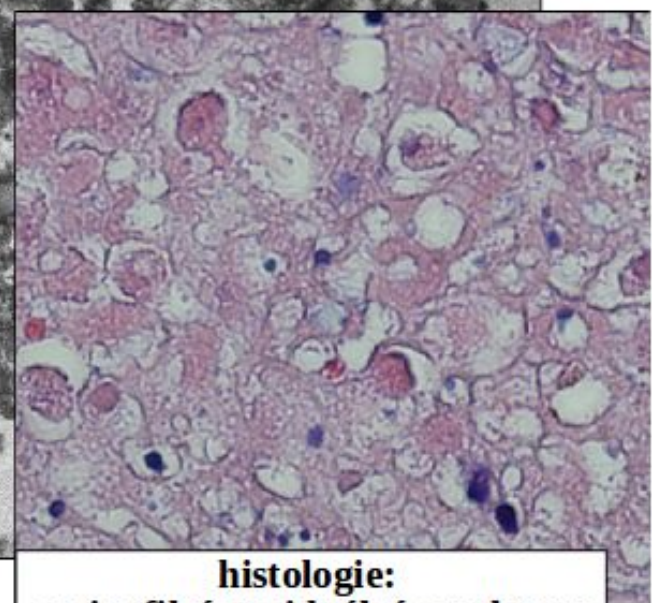


Obr. 3. Ischemická nekrosa kůry ledvin (infarkt ledviny).
Barvení HE

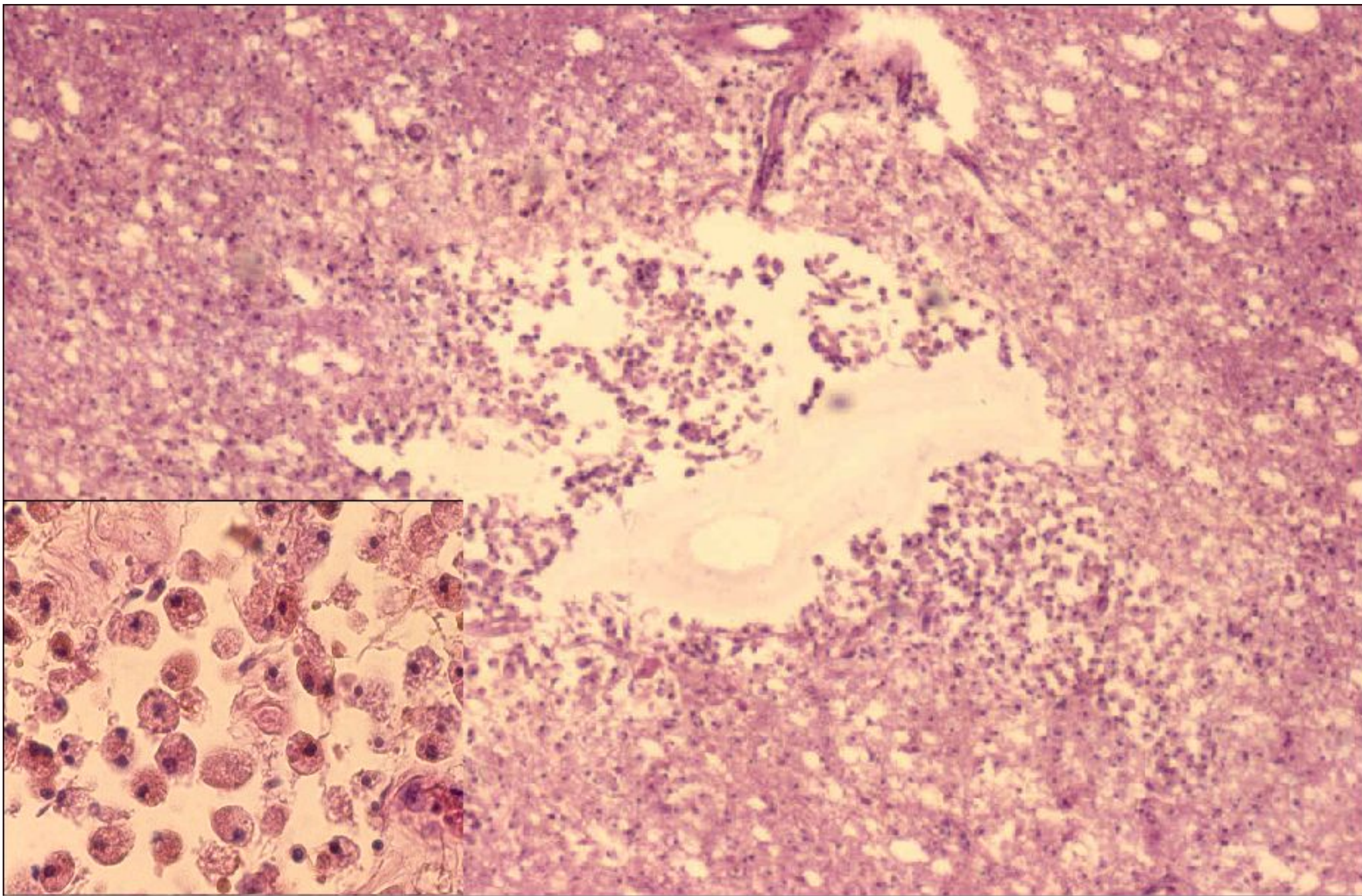


ultrastruktura: degradace organel v nekrotickém hepatocytu

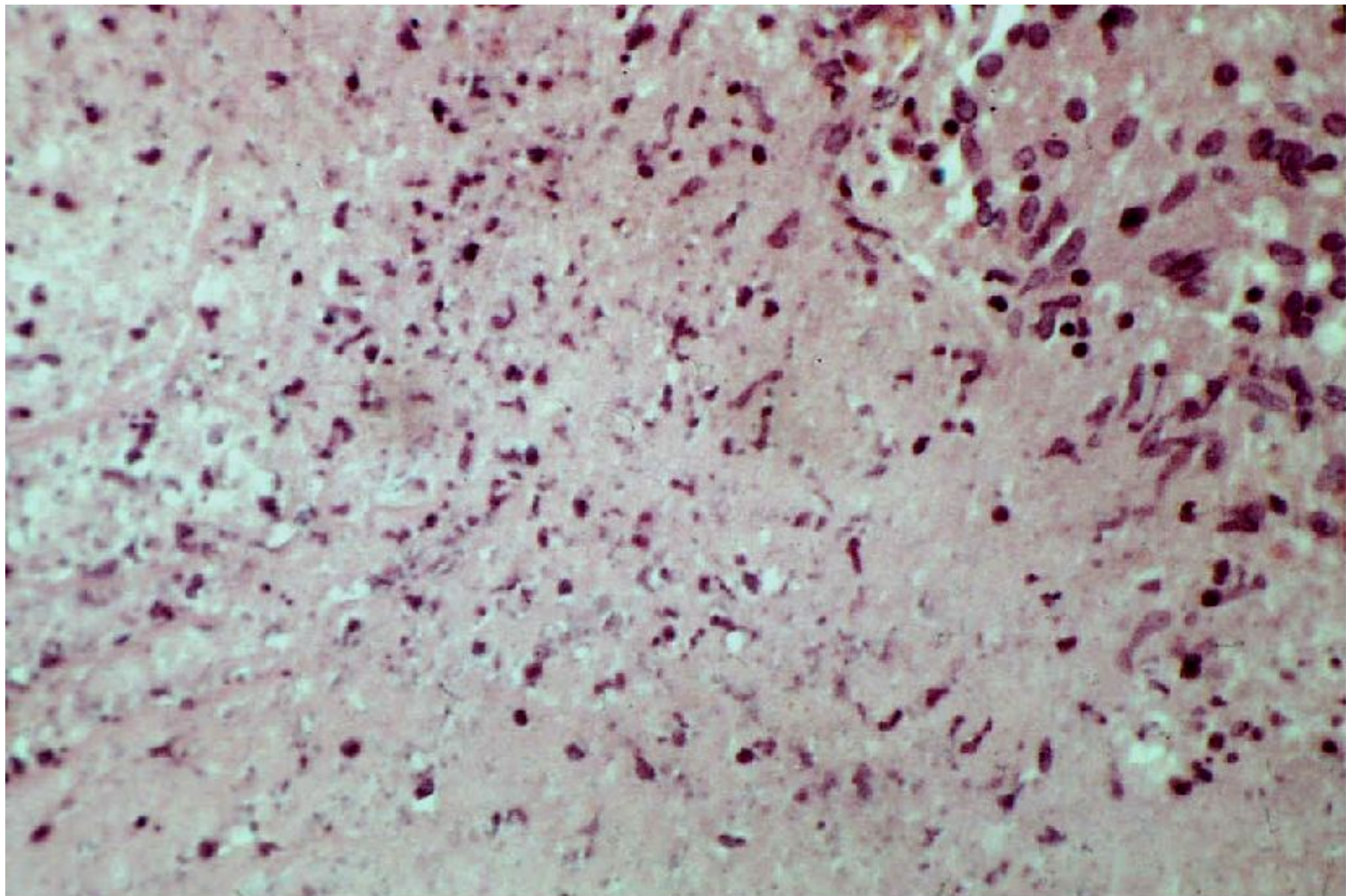
Obr. 4. nekrosa hepatocytů při virové hepatitidě



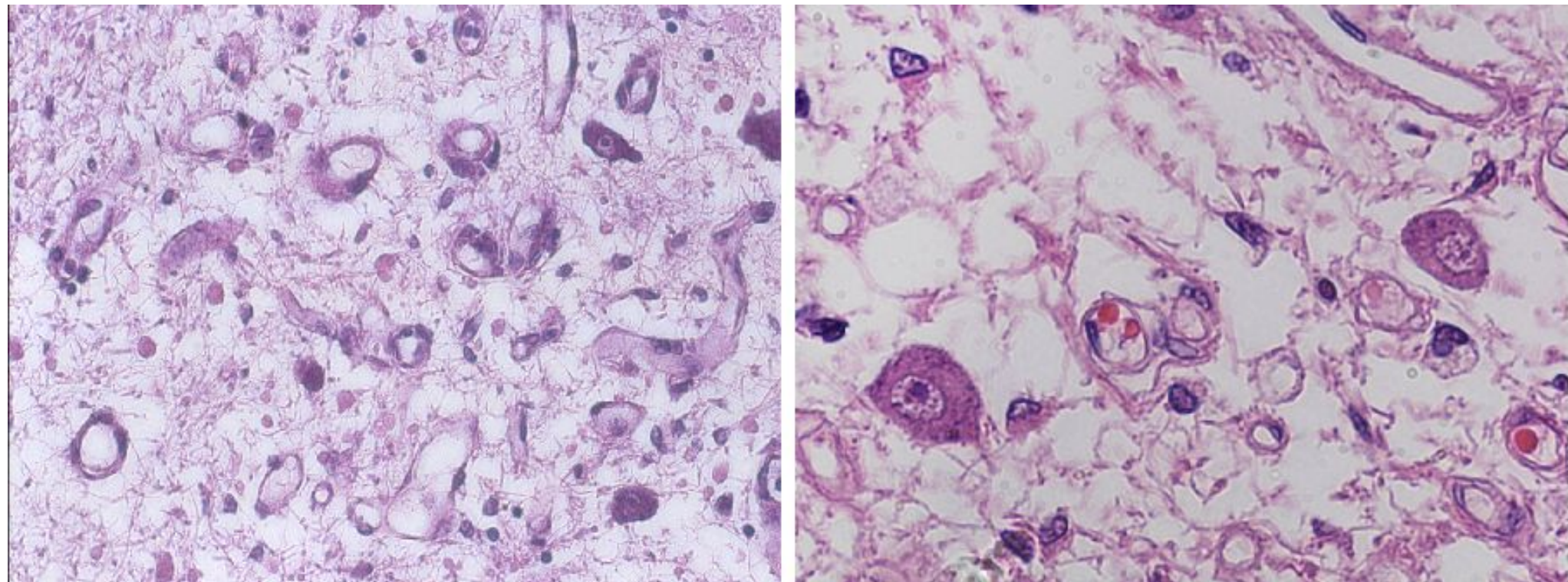
**histologie:
eosinofilní residiuální struktury**



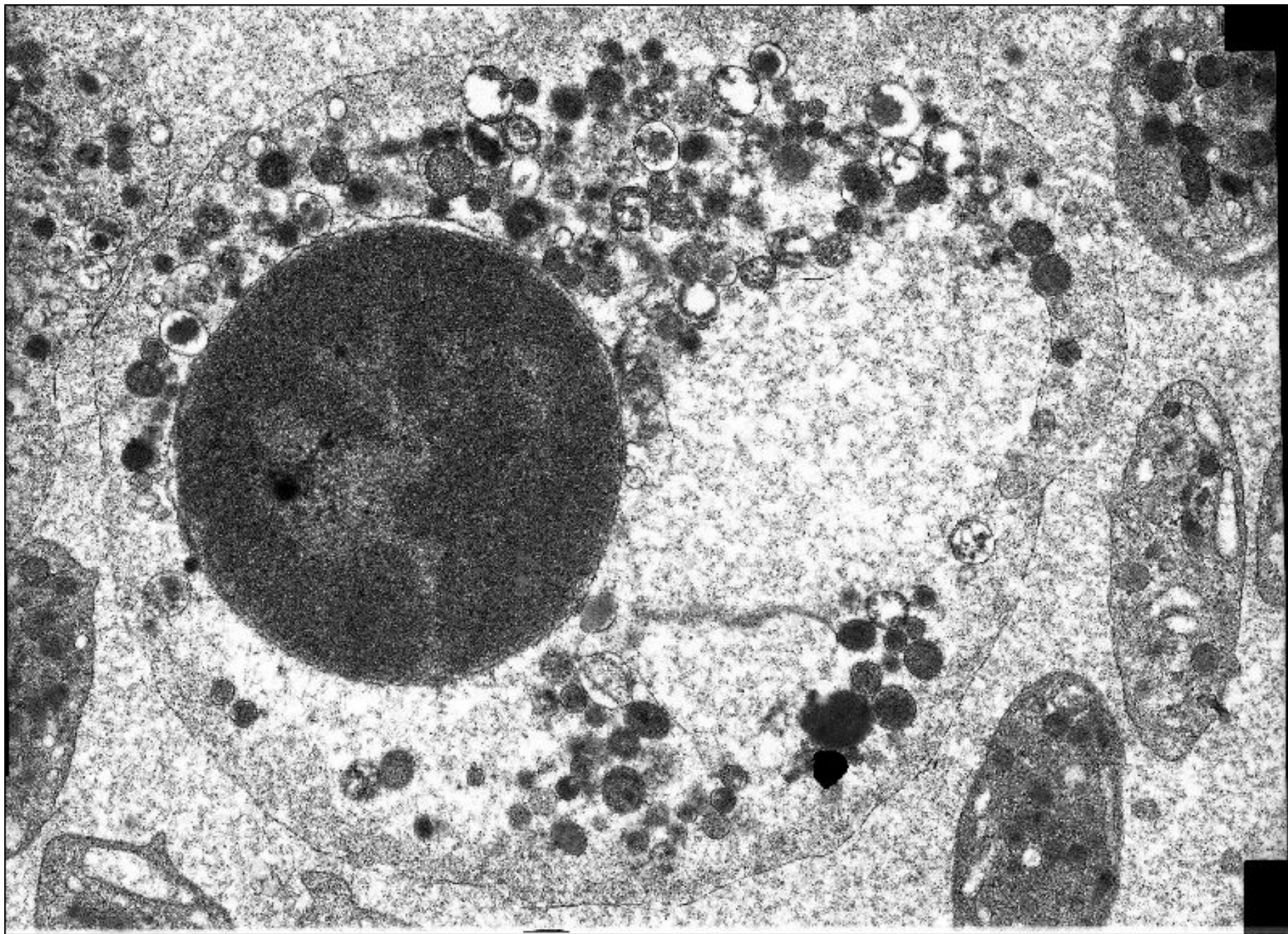
Obr. 5. Encefalomalacie ve fázi „úklidu“ fagocytosou nekrotické tkáně mikrogliálními fagocyty; vytváření pseudocysty; barvení HE



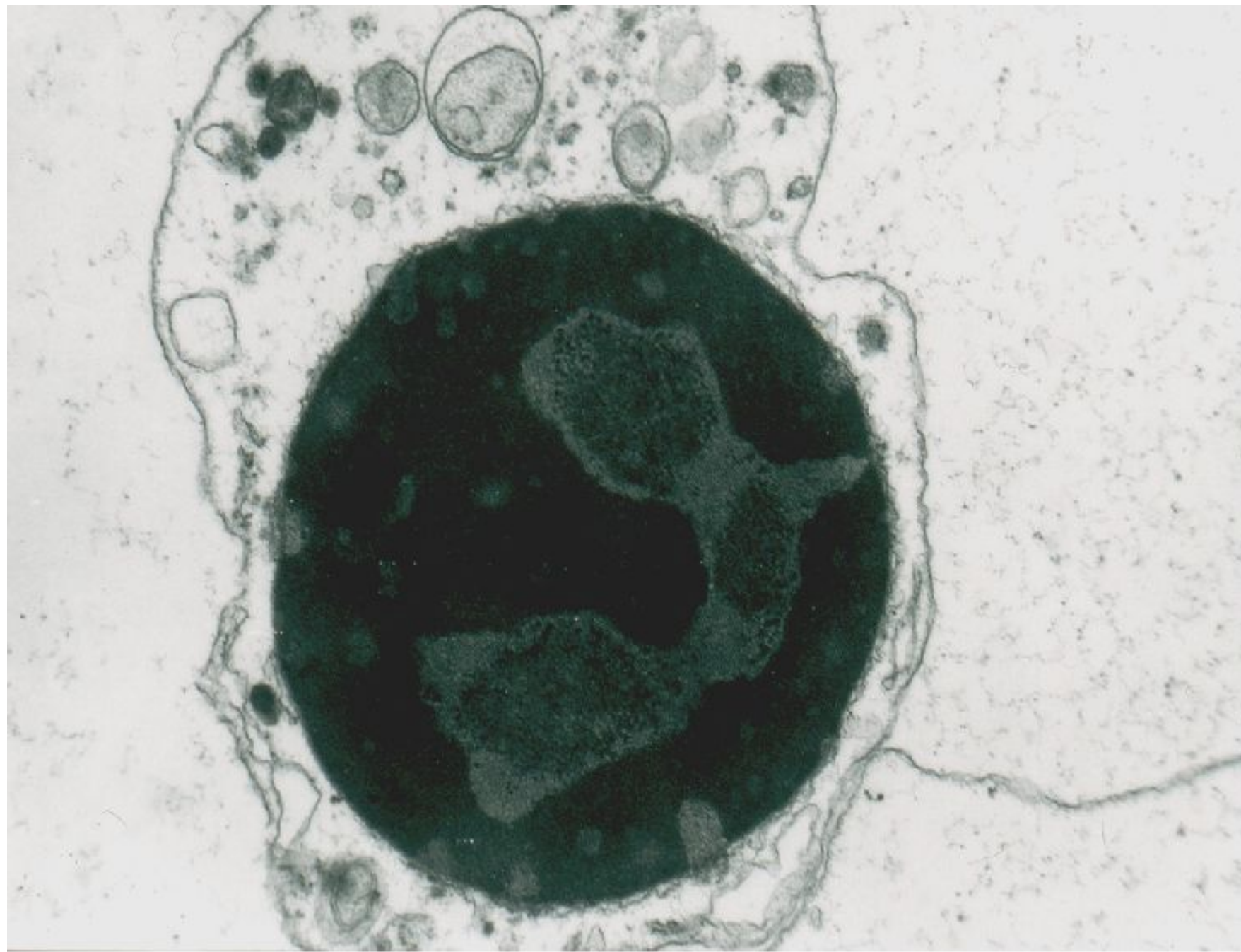
Obr. 6. Kaseosní nekrosa v lymfatické uzlině: totální granulární rozpad stírající strukturu původní tkáně; residuální jaderný poprašek



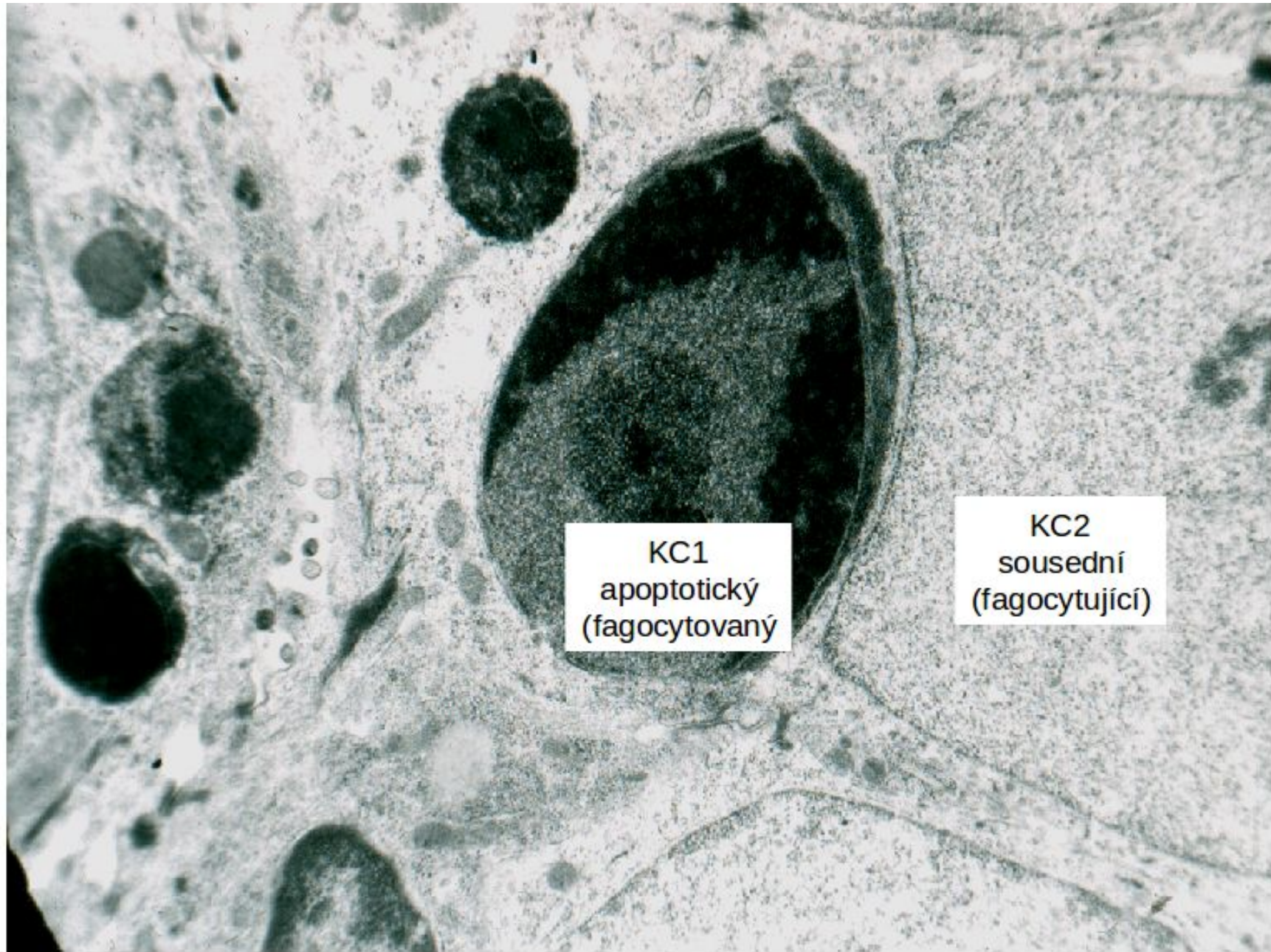
Obr.7. Nekrosa typu Leigh v mozečku (mitochondriální porucha s deficitem cytochromoxidasy (deficit SURF1)



obr.8 Elektronogram. Apoptotický leukocyt v periferní krvi (doposud nefagocytovaný); pyknosa jádra, densifikace organel



Obr.9. Elektronogram apoptického elementu v choriovém klku
(náhodný nález ve vzorku vyšetřeném v rámci z prenatální diagnosy)



obr.10. Elektronogram. Apoptosa ve vlasovém foliklu: apoptotický keratinocyt 1 (KC1) je fagocytován sousedním keratinocitem (KC2)

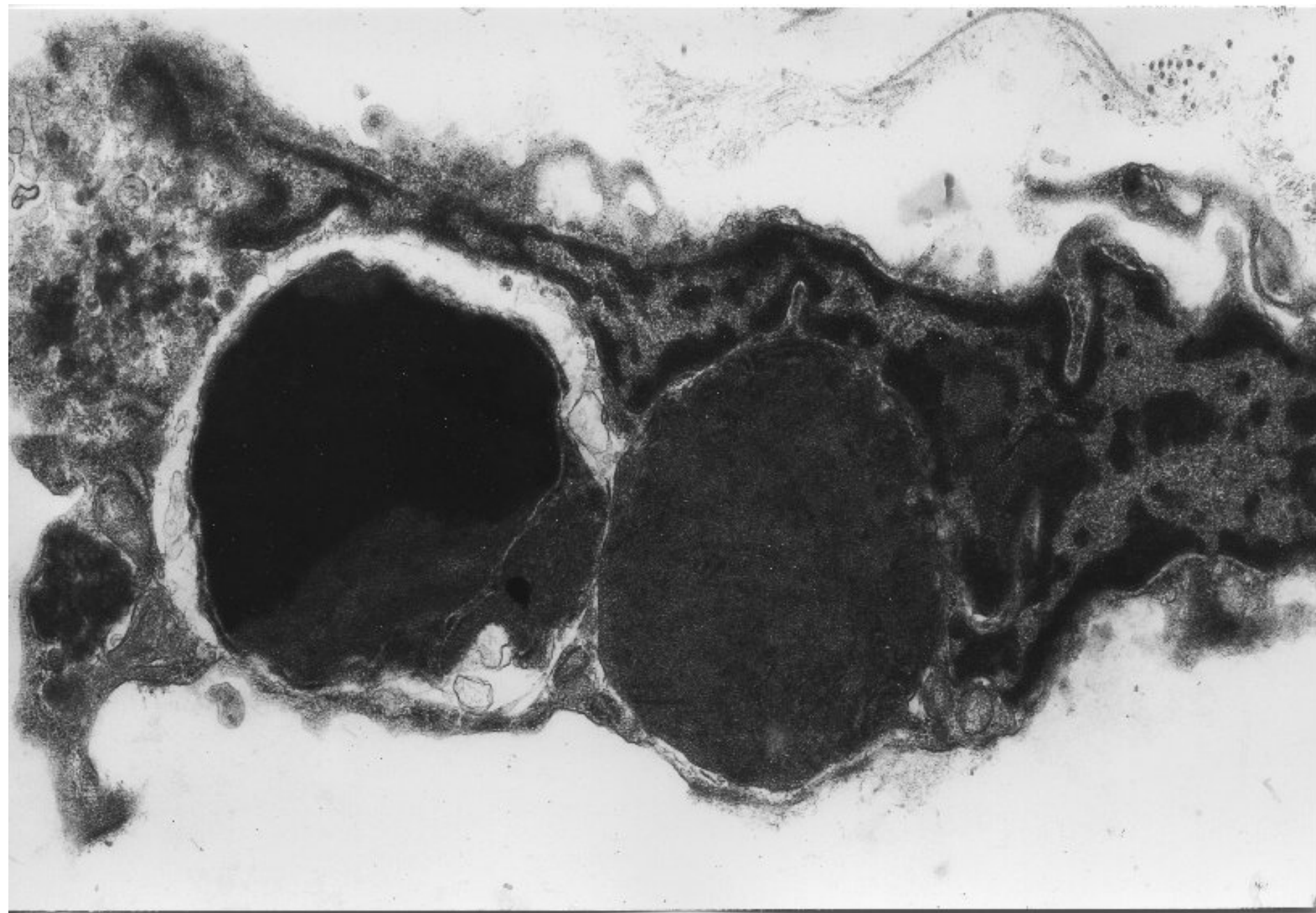
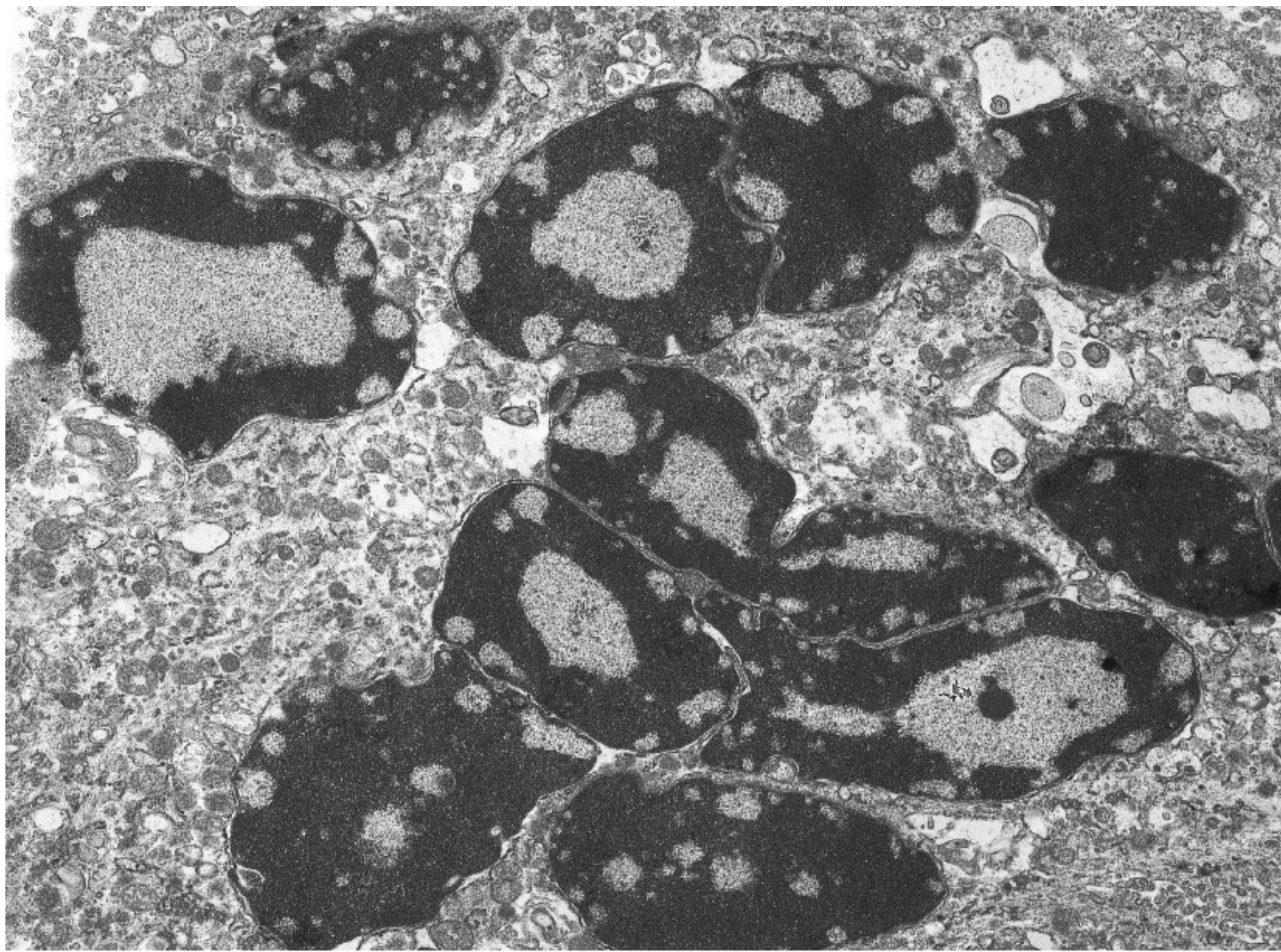
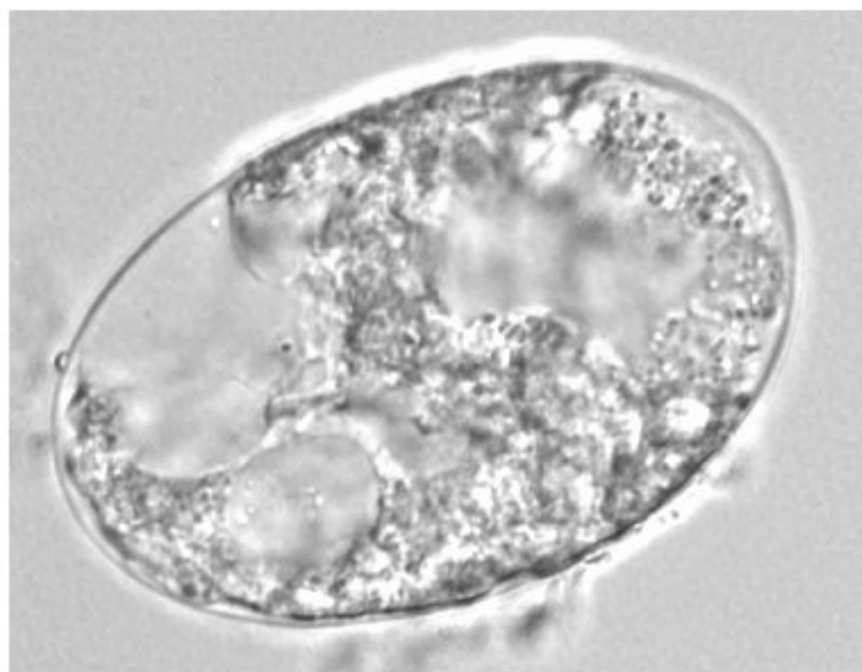


Fig. 11. Vřetenitá buňka v dermis fagocytosující dvě apoptotické buňky. Obě apoptotické buňky jsou typicky svraštělé, densifikované. Náhodný nález u pacienta s Niemann-Pickovým onemocněním typu C. (cca x10 000)

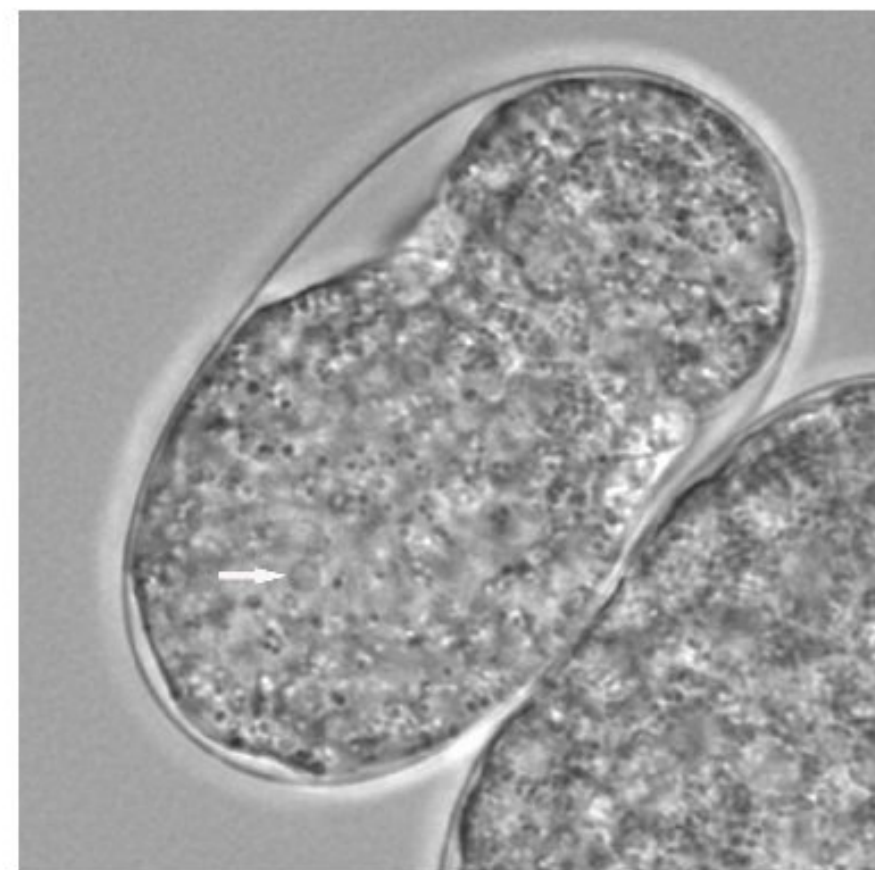


obr.12 Apoptosa syncytiotrofoblastu v placentě – kondensace chromatinu

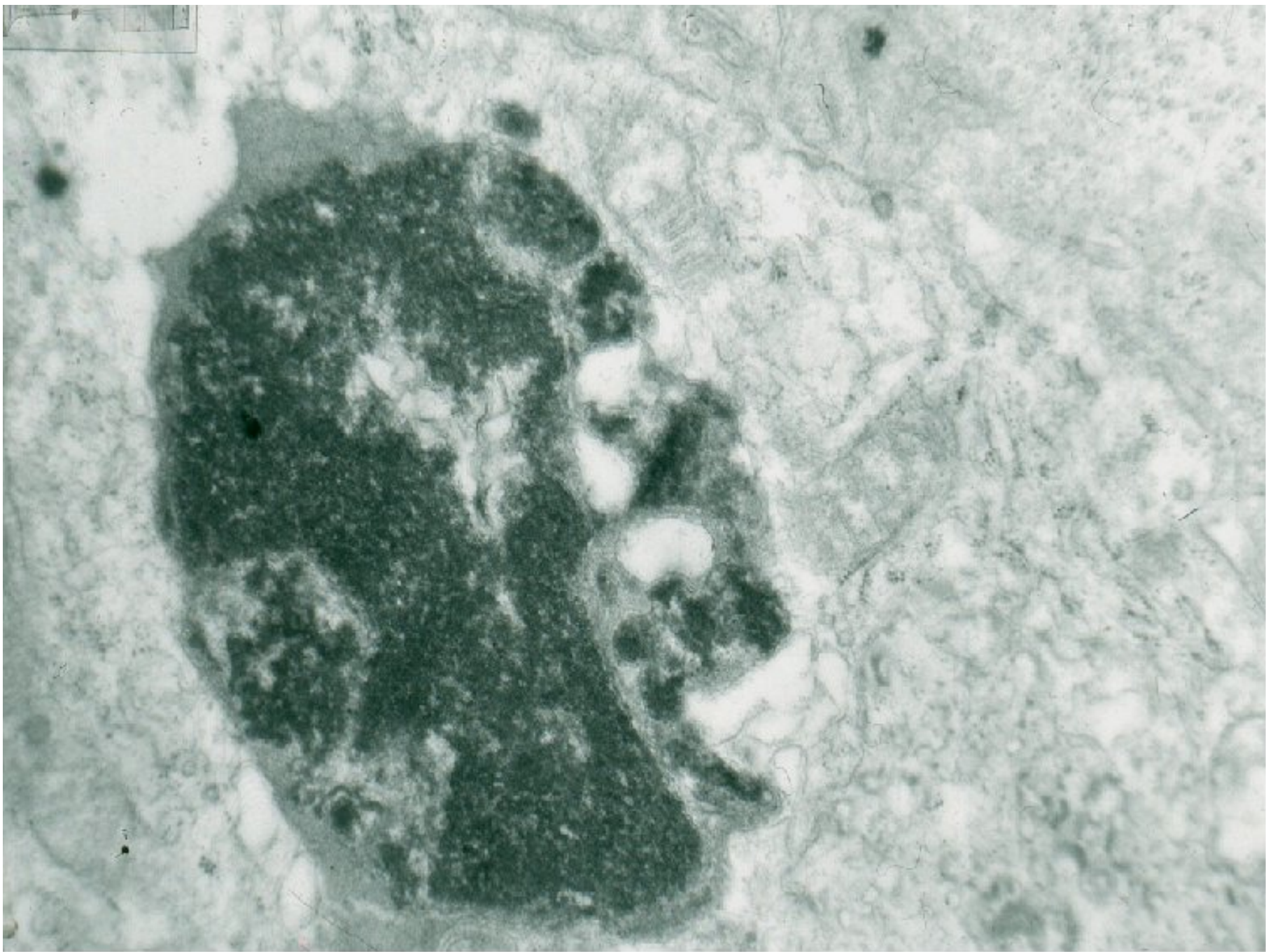
Fig.13. *C. elegans* - buněčná smrt



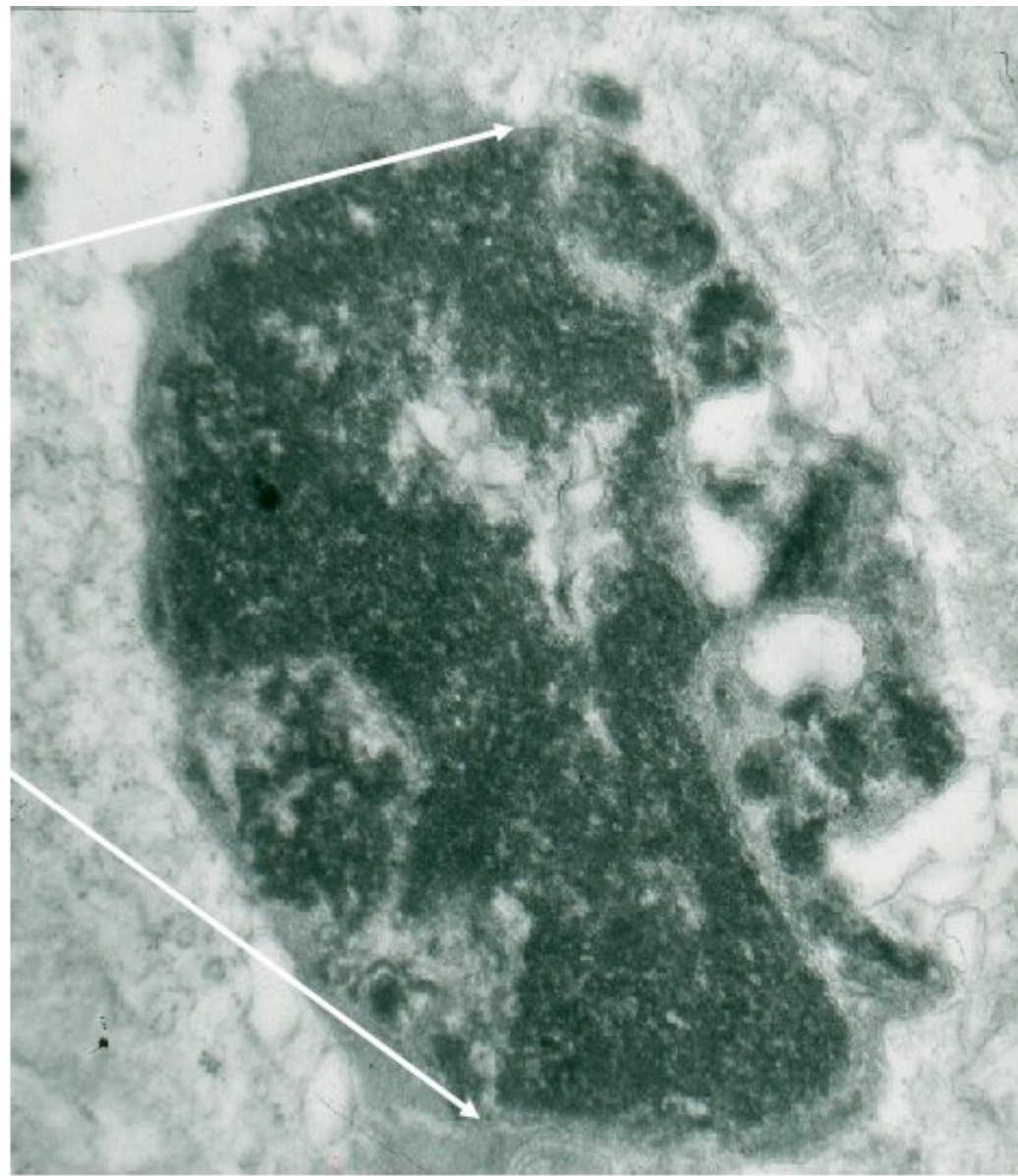
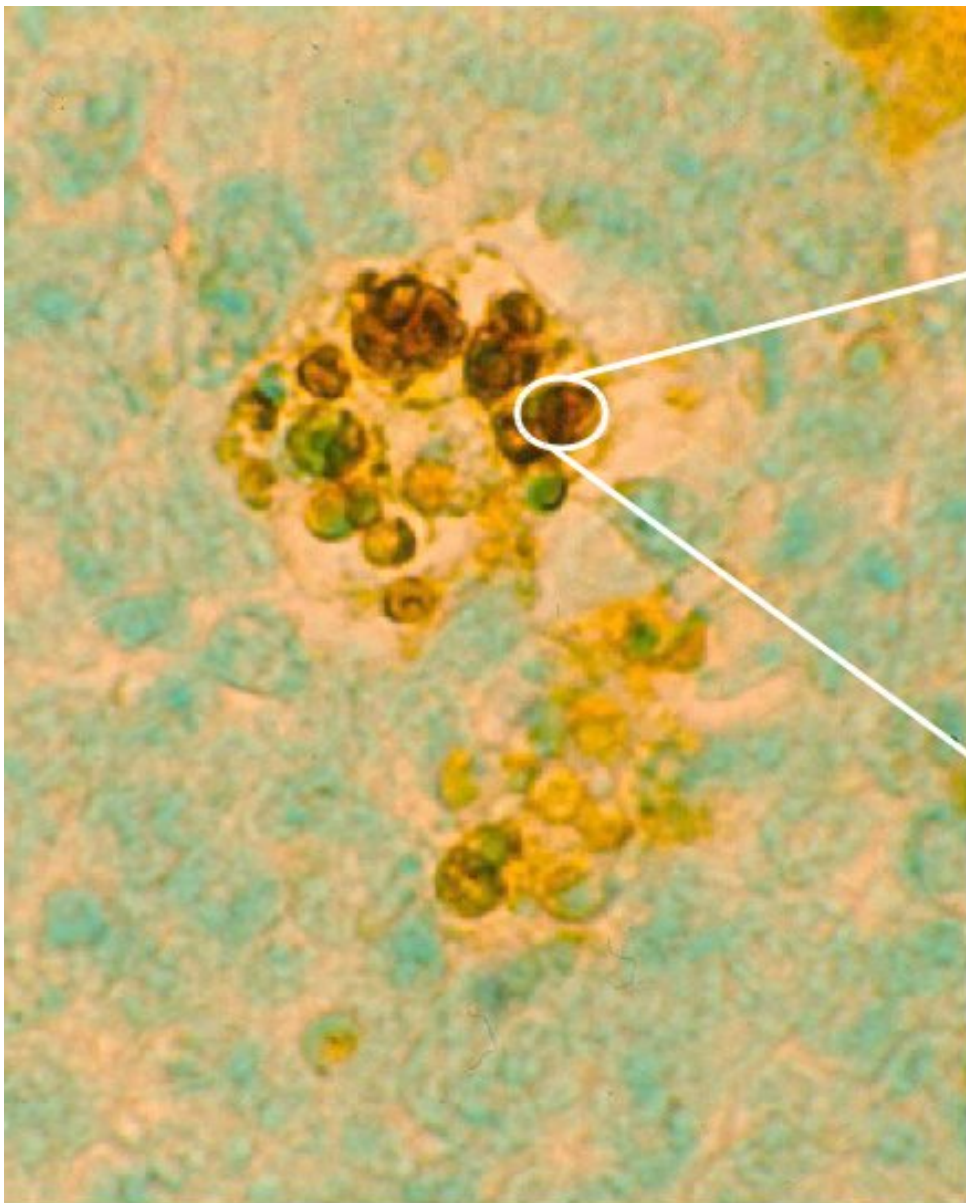
Nekrotické změny v embryu u kterého došlo z neznámých důvodů k odumrtí; nekrotické buňky jsou v různém stadiu lytického rozpadu



Apoptosa jedné buňky (vyznačená kroužkem); Jde o jednu z celkového počtu 131 somatických buněk, které podléhají apoptose za normálního vývoje



Obr. 14. Fagocytovaný apoptotický lymfocyt v centrofolikulárním makrofágu lymfatické tkáně apendixu



obr.15

vpravo: centrofolliculárni marofág fagocytující apoptotický lymfocyt
vlevo: TUNEL pozitívni fagocytovaný apoptotický lymphocyt